

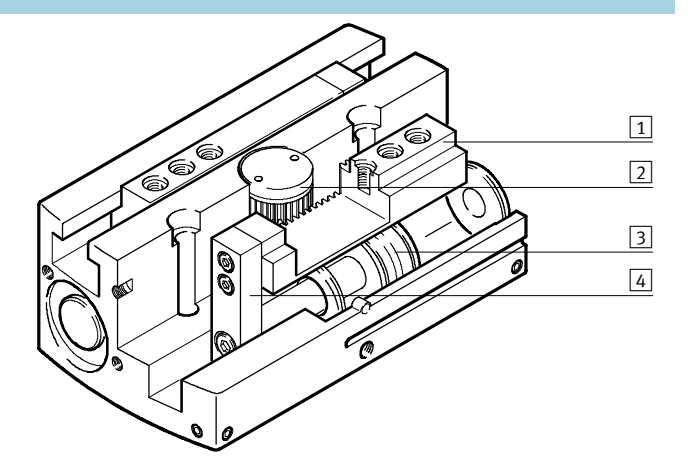
#### Pince à longue course HGPL

Caractéristiques

#### Vue d'ensemble

- Encombrement optimisé et force importante
  - Deux pistons parallèles et agissant dans les sens opposés actionnent directement les mors sans perte de force.
- Fiabilité accrue
  - Un pignon synchronisant le mouvement des deux mors garantit une préhension fiable, précise et bien centrée.
  - La conception optimisée des mors parallèles en terme d'encombrement permet une grande longueur de guidage pour ces derniers.

- Robuste
  - La combinaison de la rainure en T avec une plus grande longueur de guidage permet d'augmenter les forces et couples des mors.
- Grande souplesse d'utilisation
  - Pinces à double effet conçues pour un serrage externe et interne.
- Plusieurs possibilités d'adaptation et raccords d'air comprimé
- Ajustement de la course d'ouverture pour gagner du temps



- 1 Mors de pince
- 2 Elément de synchronisation
- 3 Piston avec aimant

**FESTO** 

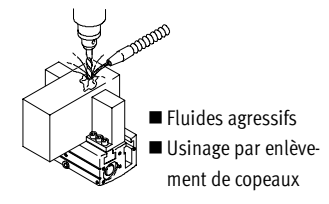
4 Etrier

Possibilités de raccordement variées		Possibilités de fixation	
Direct par l'avant	Par plaque d'adaptation par le dessous	Fixation directe par le dessus	par le dessous
	2 3		
<ol> <li>Raccords d'air comprimé</li> <li>Douilles de centrage</li> <li>Joints toriques</li> </ol>		<ol> <li>Vis de fixation</li> <li>Douilles de centrage</li> </ol>	



Nota

Les pinces à longue course ne sont pas prévues pour les exemples d'application suivants ou assimilés :

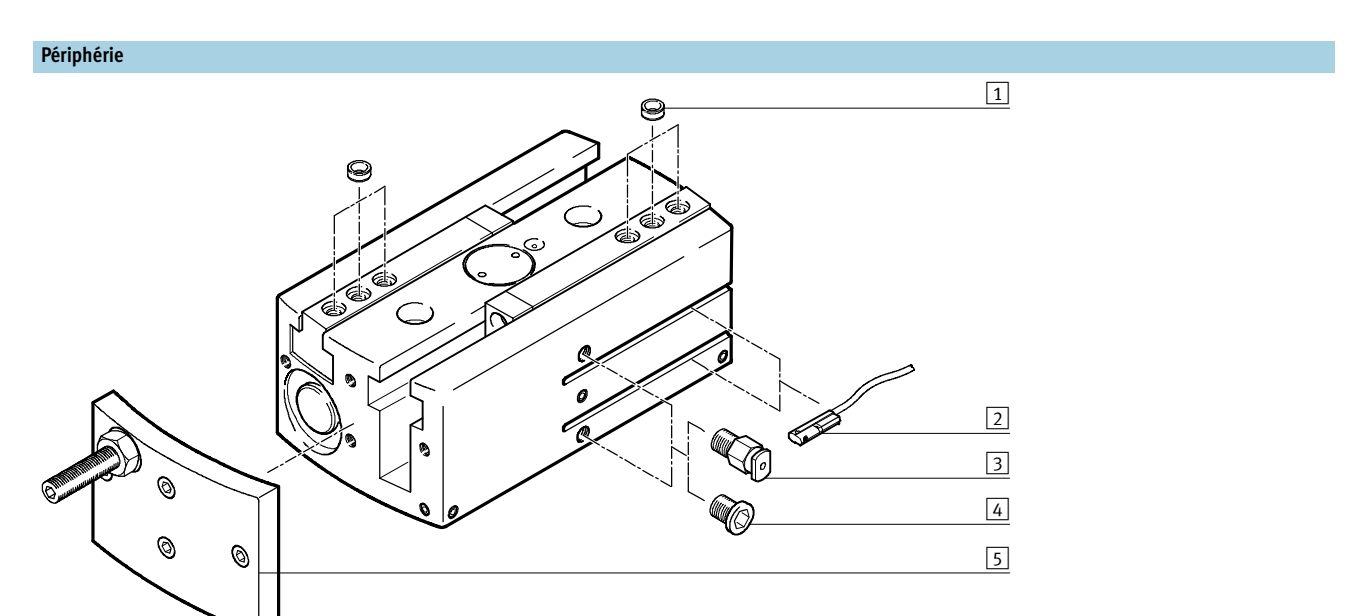




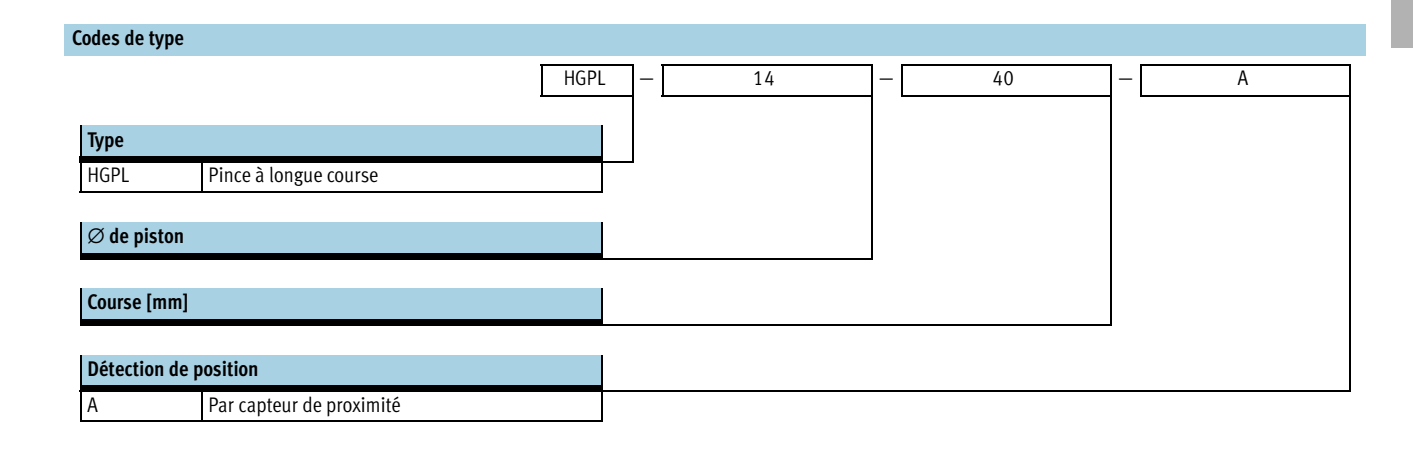


■ Projections de soudure

### Pince à longue course HGPL Périphérie et désignations



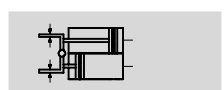
Acces	soires		
	Туре	Description sommaire	→ Page
1	Douille de centrage ZBH	Pour centrage en cas de montage des doigts sur les mors	1 / 7.7-31
2	Capteurs de proximité SME-/SMT-10	Pour détection de position du piston	1 / 7.7-32
3	Raccord enfichable QS	pour le raccordement de tuyaux pneumatiques à diamètre extérieur calibré	Tome 3 www.festo.fr
4	Bouchon B	Pour obturation des raccords inutilisés, par exemple en cas d'utilisation des raccords de la partie frontale	1 / 7.7-31
5	Réduction de course HGPL-HR	pour réduire la course d'ouverture	1 / 7.7-30
-	Ebauche pour mors BUB-HGPL	ébauche spécialement conçue pour les mors afin de personnaliser la fabrication des doigts.	1 / 7.7-31
-		Connexions actionneur/pince	Tome 5 www.festo.fr 5 / 3.2-53



### Pince à longue course HGPL Fiche de données techniques

Fonction Double effet

HGPL-...-A



 $\emptyset$  de piston 14 ... 40 mm

Course 80 ... 160 mm





**FESTO** 

Caractéristiques techniques générales								
$\varnothing$ de piston		14 25			40	40		
Conception	pistons pn	eumatiques synchr	onisés					
		Mouvemer	nt à guidage forcé					
Mode de fonctionnement	Double effe	et						
Fonction de la pince		parallèle						
Nombre de mors de pince		2						
Poids max. par doigt de pince externe <sup>1)</sup>	[N]	0,8		2,5		4,2		
Course par mors de pince	[mm]	40	80	40	80	40	80	
Raccordement pneumatique		M5						
Précision de répétitivité <sup>2)</sup>	[mm]	< 0,03						
Précision de remplacement max.	[mm]	< 0,2						
Jeux max. de mors de pince	[mm]	< 0,05						
Fréquence de travail max.	[Hz]	< 1						
Symétrie en rotation	[mm]	<∅0,2						
Détection de position		Par capteu	r de proximité					
Mode de fixation	Par alésag	Par alésage traversant et douilles de centrage						
		Par taraudage et douilles de centrage						
Position de montage	•	indifférent	e	•				

- S'applique au fonctionnement sans étranglement.
   Dispersion de la position de fin de course en conditions d'utilisation constantes pour 100 courses consécutives dans le sens de déplacement des mors de la pince.

Conditions de fonctionnement et d	'environnement			
$\varnothing$ de piston		14	25	40
Pression de service	[bar]	3 8		
Fluide de service		Air comprimé filtré, lubrifié ou non l	ubrifié.	
Température ambiante <sup>1)</sup>	[°C]	+5 +60		
Résistance à la corrosion KBK <sup>2)</sup>		2		

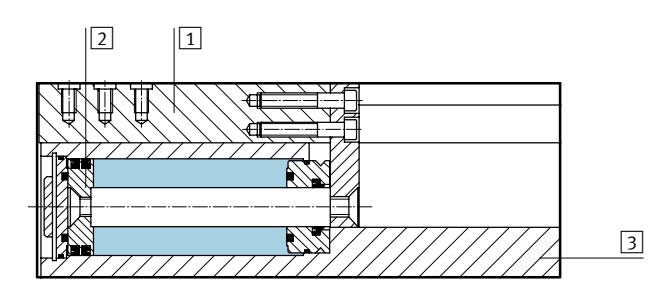
- 1) Tenir compte de la plage d'utilisation des capteurs de proximité.
- Classe de protection anti-corrosion 2 selon la norme festo 940 070
  Pièces modérément soumises à la corrosion. Pièces externes visibles dont la surface répond essentiellement à des critères d'apparence, en contact direct avec une atmosphère industrielle courante ou des fluides tels que des huiles de coupe ou lubrifiants.

Poids [g]				
$\varnothing$ de piston		14	25	40
Course par mors de pince	40 mm	440	1 400	3 300
	80 mm	720	2 200	4 800

### Pince à longue course HGPL Fiche de données techniques

#### Matériaux

Coupe fonctionnelle



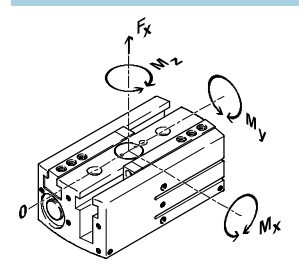
Pind	es	
1	Mors de pince	Acier, trempé, revêtement Citrox
2	Piston	Acier fortement allié
3	Corps	Alliage d'aluminium corroyé, revêtement Comp-
		Cote
_	Joints	Caoutchouc nitrile, polyuréthane
	Remarque sur les	Exempts de cuivre et de PTFE
	matériaux	

#### Force de préhension théorique [N] par mors à 6 bars



Ø de piston	14	25	40
ouverture	75	247	633
fermeture	92	295	754

#### Valeurs de charge sur les mors des pinces



Les forces et couples admissibles indiqués se rapportent à un mors de la pince. Les valeurs indiquées comprennent le bras de levier, les forces additionnelles résultant du poids de la pièce ou des doigts externes, ainsi que de forces d'accélération pendant la rotation. Pour le calcul des couples, il faudra tenir compte de la position 0 du

système de coordonnées (rainure de guidage des mors).

**FESTO** 

arnothing de piston		14	25	40
Force max. admissible F <sub>z</sub>	[N]	500	1 500	2 500
Couple max. admissible M <sub>x</sub>	[Nm]	35	100	125
Couple max. admissible M <sub>y</sub>	[Nm]	35	60	80
Couple max. admissible M <sub>z</sub>	[Nm]	35	70	100

#### Moments d'inertie [kgm²x10-4]



Moment d'inertie [ $kgm^2x10^{-4}$ ] des pinces à longue course par rapport à l'axe médian et sans charge.

Ø de piston		14	25	40
Course par mors de pince	40 mm	4,69	18,88	66,83
	80 mm	21,93	78,7	198,87

# Pinces à prise parallèle

### Pince à longue course HGPL Fiche de données techniques

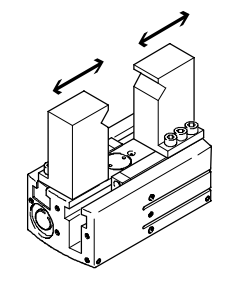
#### **FESTO**

#### Temps d'ouverture et de fermeture [ms] sous 6 bars

sans doigts externes

avec doigts externes



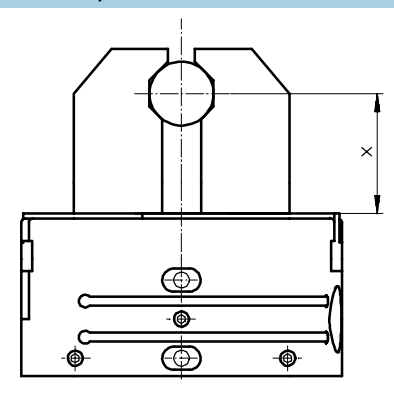


Les temps d'ouverture et de fermeture [ms] indiqués ont été mesurés à température ambiante, sous une pression de service de 6 bars, pinces montées à la verticale et sans doigts supplémentaires. Pour les poids plus importants, il faudra brider les pinces. Il faut pour cela régler leur temps d'ouverture et de fermeture.

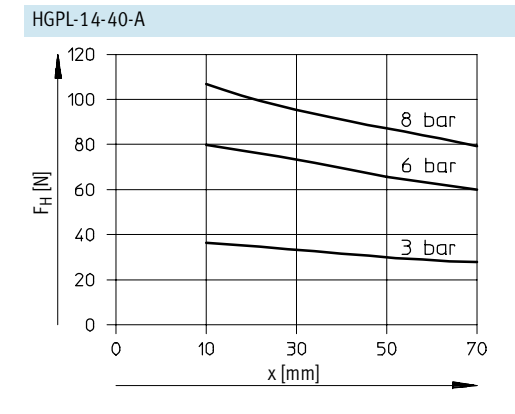
$\varnothing$ de piston		14	25	40
∅ de pistori		14	25	40
sans doigts externes - ouver	ture	_		
Course par doigt	40 mm	104	194	238
	80 mm	234	360	414
sans doigts externes - ferme	aturo			
Course par doigt	40 mm	86	192	205
Course par doigt	80 mm	217	366	438
	80 111111	217	300	438
Avec des doigts de pince ext	ternes en fonction du r	nids		
Course par doigt	40 mm	olas		
Poids	1 N	108	_	_
	2 N	136	-	_
	3 N	167	210	-
	4 N	192	243	-
	5 N	-	272	260
	6 N	-	-	284
	8 N	-	-	328
Course par doigt	80 mm			
Poids	1 N	243	-	-
	2 N	343	-	-
	3 N	420	401	-
	4 N	485	463	-
	5 N	-	518	478
	6 N	-	-	524
	8 N	-	_	604

#### Force de préhension F<sub>H</sub> par mors en fonction de la pression de service et du bras de levier x

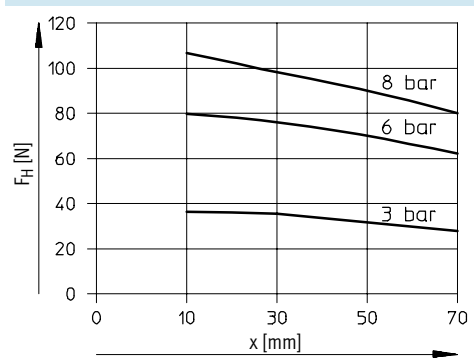
Les diagrammes suivants permettent de déterminer les forces de préhension en fonction de la pression de service et du bras de levier pour les différentes tailles de pinces.



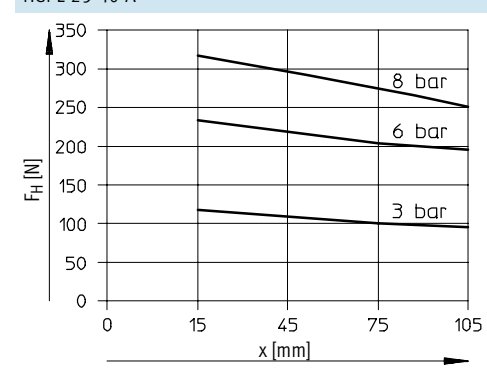
#### Prise extérieure : Fermeture



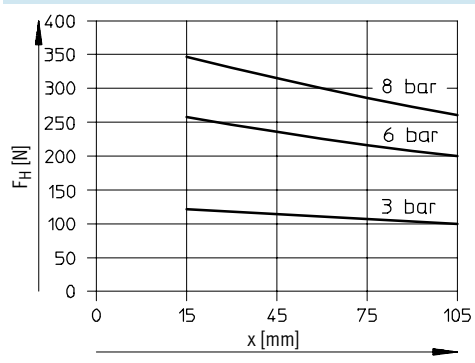
#### HGPL-14-80-A



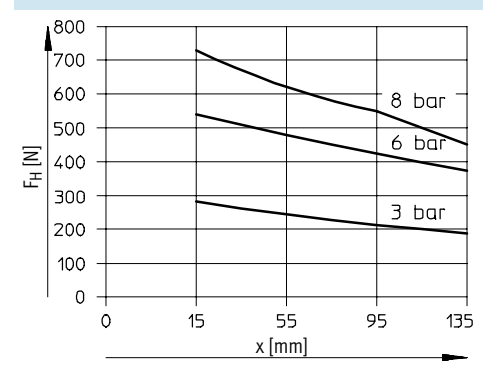
#### HGPL-25-40-A



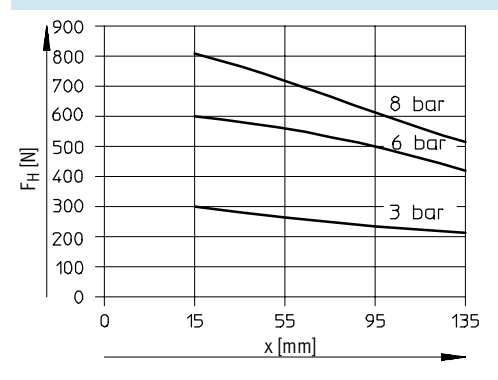
HGPL-25-80-A



#### HGPL-40-40-A



#### HGPL-40-80-A

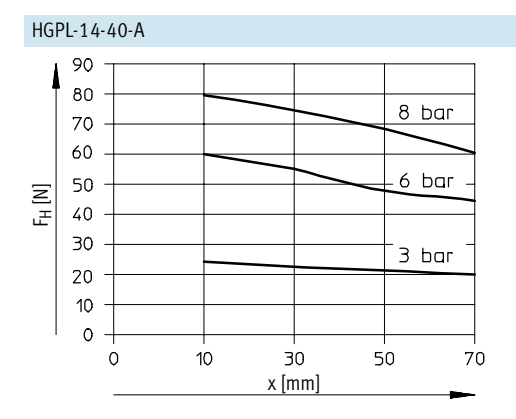


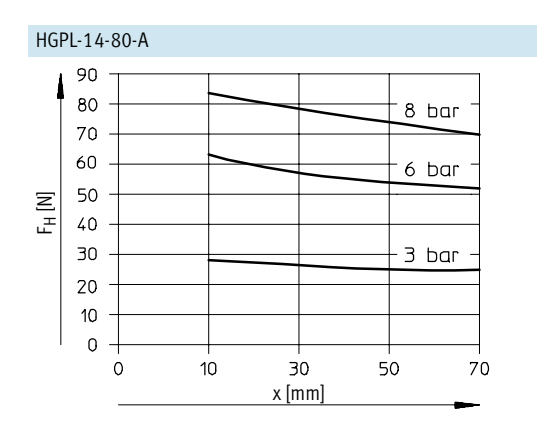
7.7

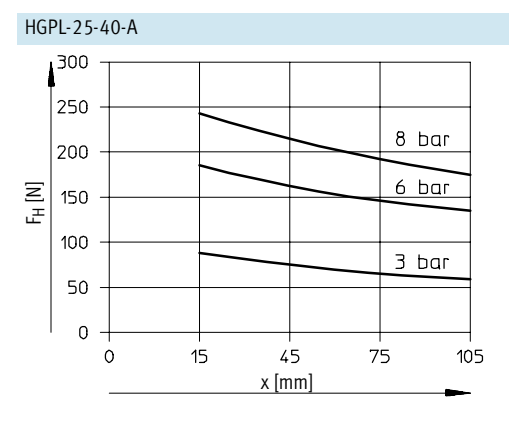
### Pince à longue course HGPL Fiche de données techniques

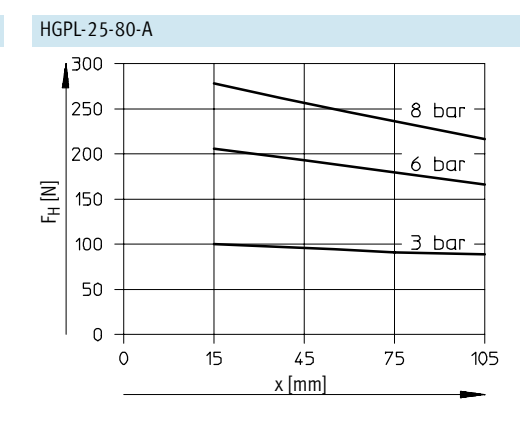
#### **FESTO**

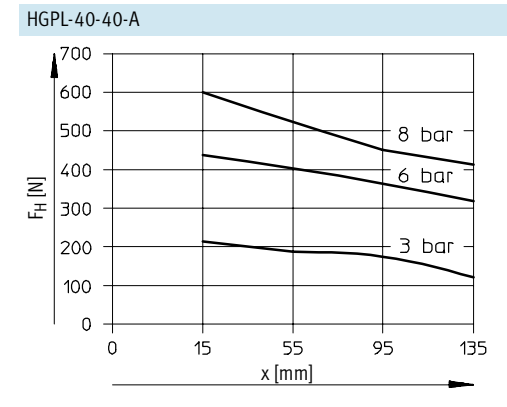
#### Force de préhension F<sub>H</sub> par mors en fonction de la pression de service et du bras de levier x Prise intérieure : Ouverture

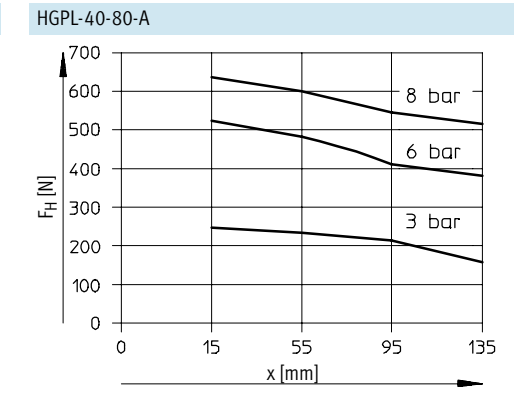










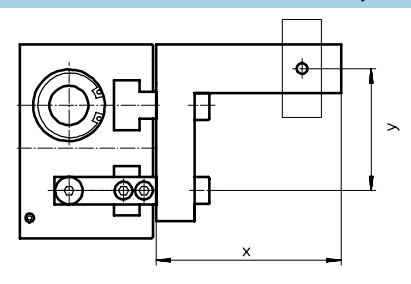


#### Pince à longue course HGPL

Fiche de données techniques

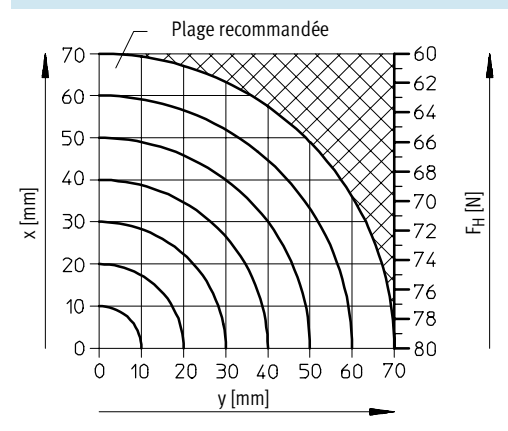
#### Force de préhension F<sub>H</sub> par mors, en fonction du bras de levier x et de l'excentricité y

Les diagrammes suivants permettent de déterminer les forces de préhension sous 6 bars, compte tenu de l'application d'une force excentrée et de l'excentricité maximum admissible du point d'application de la force pour les différentes tailles de pinces.

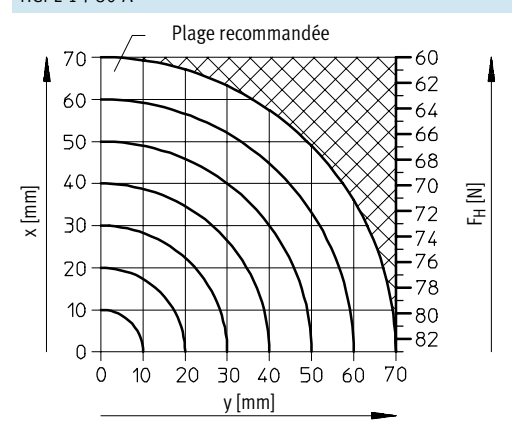


#### Prise extérieure : Fermeture

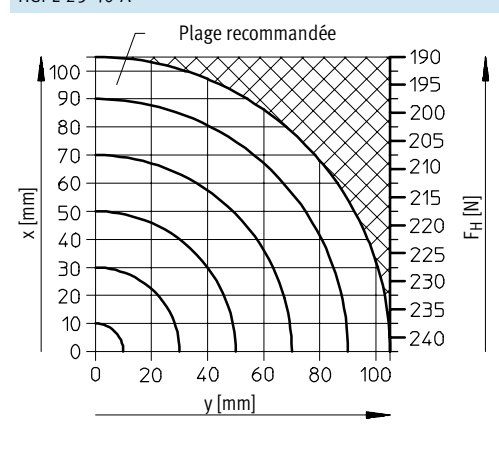
#### HGPL-14-40-A



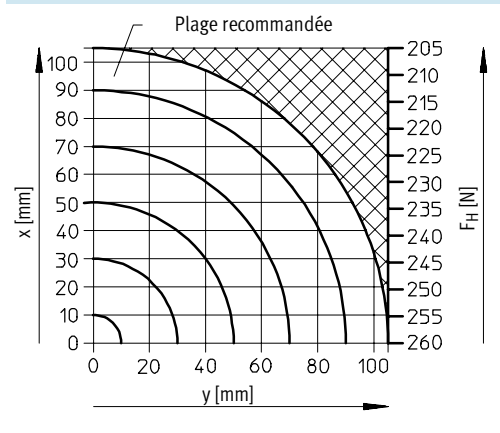
#### HGPL-14-80-A



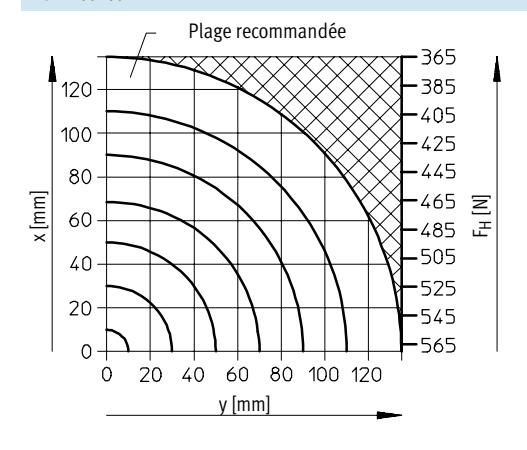
#### HGPL-25-40-A



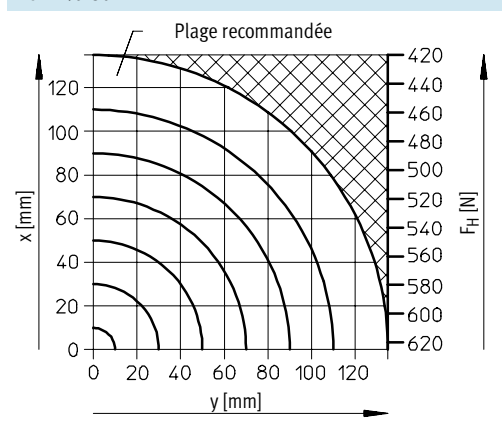
HGPL-25-80-A



#### HGPL-40-40-A



HGPL-40-80-A



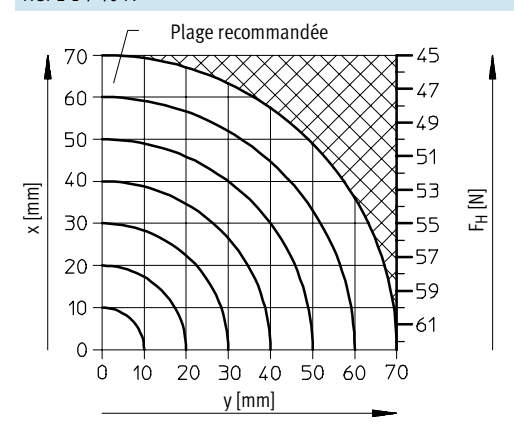
#### Pince à longue course HGPL

Fiche de données techniques

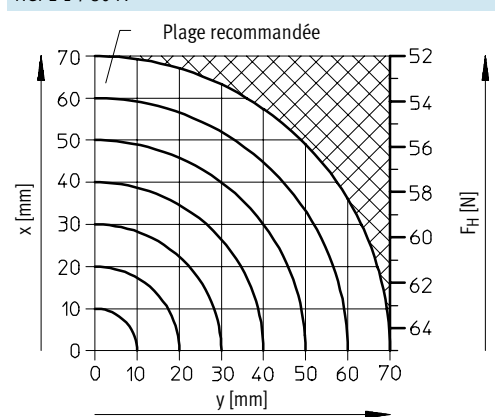
#### **FESTO**

#### Force de préhension F<sub>H</sub> par mors, en fonction du bras de levier x et de l'excentricité y Prise extérieure : Ouverture

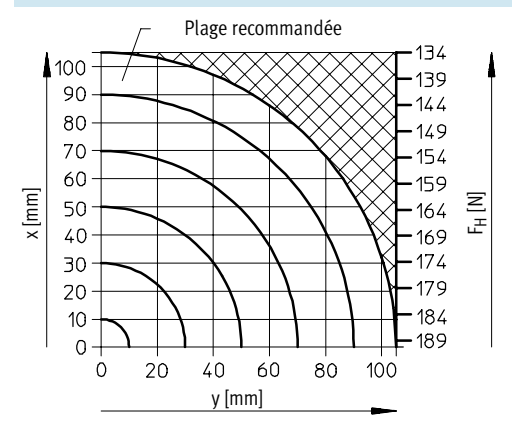
HGPL-14-40-A



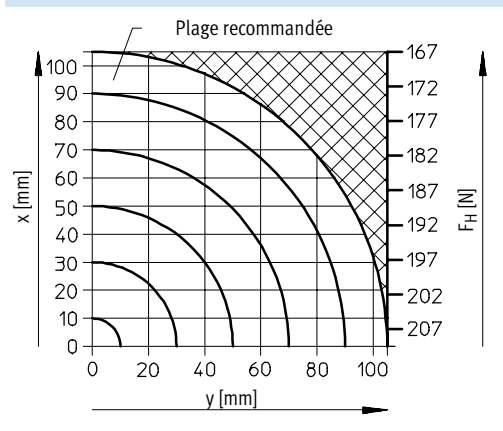
#### HGPL-14-80-A



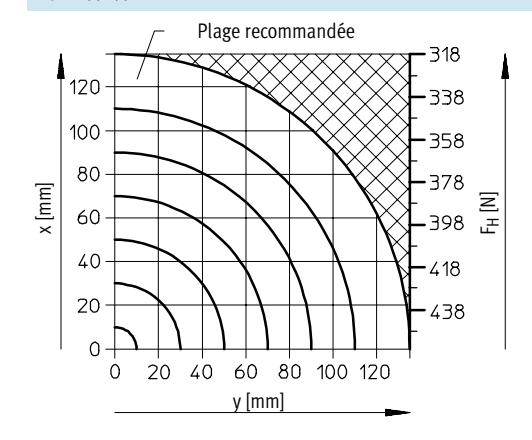
#### HGPL-25-40-A



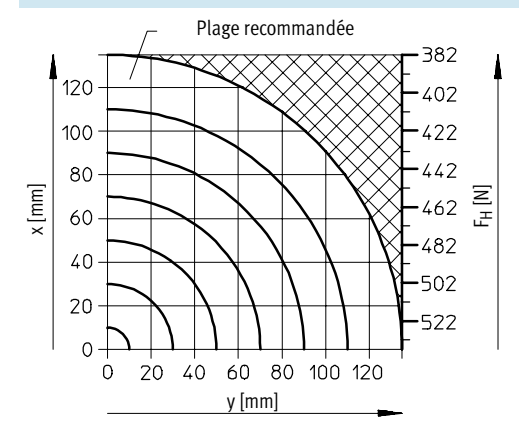
HGPL-25-80-A



#### HGPL-40-40-A



#### HGPL-40-80-A





### Pince à longue course HGPL Fiche de données techniques

#### **FESTO**

#### Force de préhension F<sub>H</sub> par mors, en fonction du bras de levier x et de l'excentricité y

Exemple de calcul

Soit:

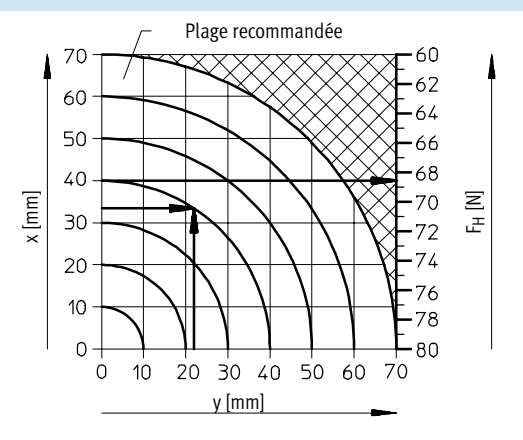
Bras de levier x = 32 mm Excentricité y = 22 mm Il faut trouver:

la force de préhension sous 6 bars

Procédure :

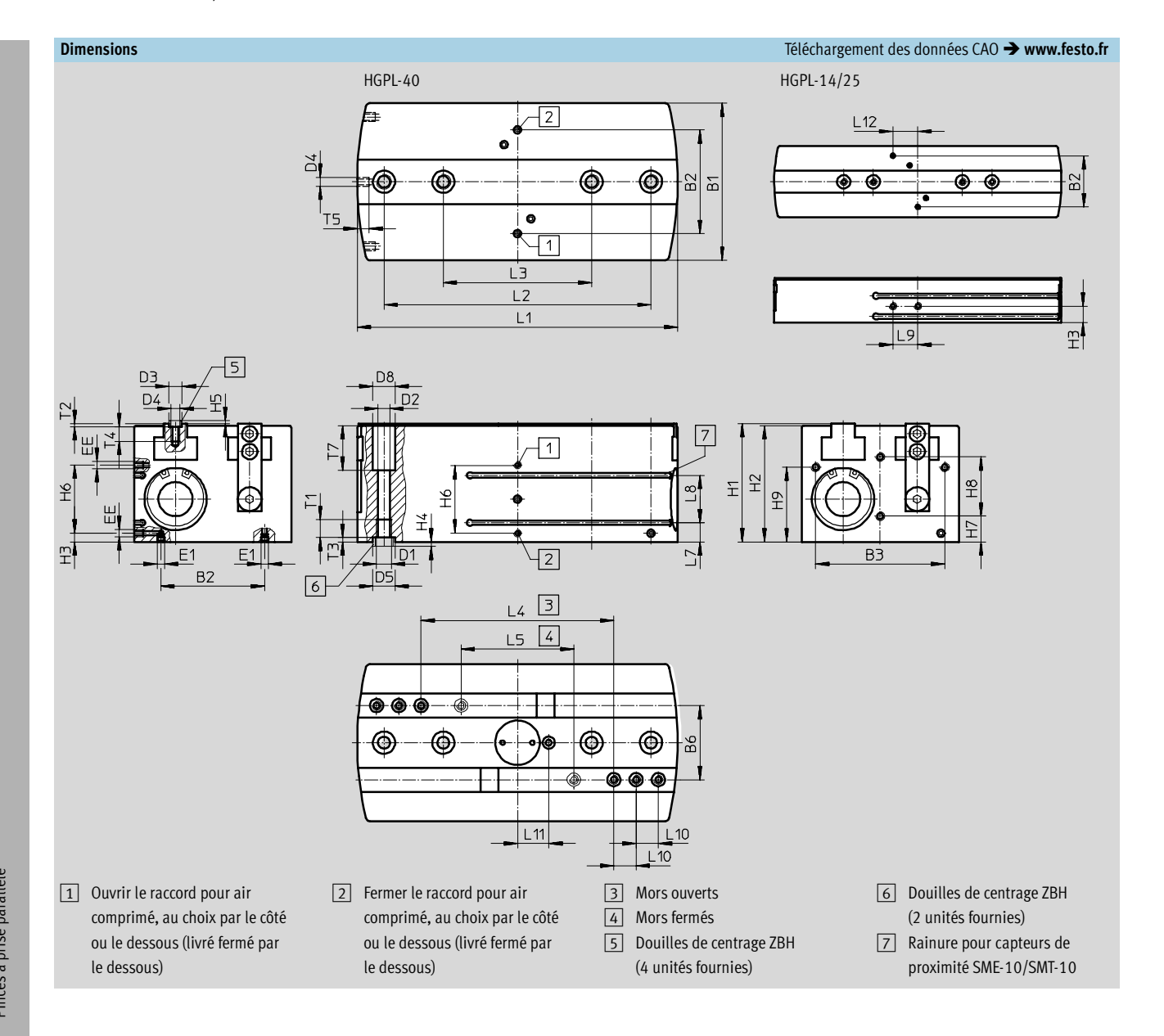
- Détermination du point d'intersection xy entre le bras de levier x et l'excentricité y dans le diagramme du HGPL-14-40-A
- Tracé d'un arc de cercle (centre à l'origine) passant par le point d'intersection xy
- Détermination du point d'intersection entre l'arc de cercle et l'axe y
- Lecture de la force de préhension : Résultat :

force de préhension = env. 68,3 N



### Pince à longue course HGPL Fiche de données techniques





### Pince à longue course HGPL Fiche de données techniques

Туре	B1	B2	В3	В6	D1		D2 Ø	D3 Ø	[	D4	D5 Ø	D8 Ø	EE	E1
	±0,05	±0,1	±0,1	±0,01			+0,1	₩ H8/h7			₩ H8/h7	H13		
HGPL-14-40	48	34,5	37	22	M5		4,2	5		M3	9	7,4	M5	M3
HGPL-14-80	40	54,5	37	22	INIS	)	4,2	)	, n	VIS	9	7,4	INIO	IVIO
HGPL-25-40	80	60	65	38	Mé		5,1	7		M5	9	10	M5	M5
HGPL-25-80	00	00	0,5	70	IVIC	,	J,1	,	,	VIJ	,	10	CIVI	CIVI
HGPL-40-40	106	70	87	50	M1	0	8,5	9		M6	15	15	M5	M5
HGPL-40-80	100	70	07	50	WII	U	0,5	,	,	VIO	1)	15	WIS	UVI
Туре	H1	H2	Н3	H4	H5	Н6	H:	7 H	18	Н9	L1	L2	L3	L4
												±0,02 <sup>1)</sup>	±0,02 <sup>1)</sup>	
		±0,1	±0,1	-0,3	-0,3	±0,1	±0	,1 ±	0,1	±0,1	±0,1	±0,1 <sup>2)</sup>	±0,1 <sup>2)</sup>	±0,5

lype	H1	H2	Н3	H4	H5	H6	H/	H8	Н9	L1	L2	L3	L4
											±0,02 <sup>1)</sup>	±0,02 <sup>1)</sup>	
		±0,1	±0,1	-0,3	-0,3	±0,1	±0,1	±0,1	±0,1	±0,1	±0,1 <sup>2)</sup>	±0,1 <sup>2)</sup>	±0,5
HGPL-14-40	30	29	11	1,9	1,2	_	10	12	18	113,6	-	60	70
HGPL-14-80	] )0	2,9	11	1,9	1,2		10	12	10	193,6	100	60	150
HGPL-25-40	- 50	49	18	1,9	1,4	_	18	20	30	126	-	60	64
HGPL-25-80	] )0	47	10	1,7	1,4		10	20	50	206	100	60	144
HGPL-40-40	- 80	78,5	6	2,9	1,9	46	17,5	40	50,5	136	-	100	50
HGPL-40-80	80	70,5	U	2,9	1,9	40	17,5	40	50,5	216	100	180	130

Туре	L5	L7	L8	L9	L10 ±0,02 <sup>1)</sup>	L11	L12	T1	T2	T3	T4	T5	T7
	±0,5	±0,1	±0,1	±0,2	±0,1 <sup>2)</sup>	±0,5	±0,1	min.	+0,1	+0,1	min.	min.	+0,1
HGPL-14-40	30	4	14	16,8	8	9	16,8	12	1,3	2,1	5	6	10
HGPL-14-80	80	4	14	10,0	0	9	10,0	12	1,5	2,1	)	U	10
HGPL-25-40	24	11	14	20	10	17,5	20	12	1,6	2,1	8	7	17
HGPL-25-80	64	11	14	20	10	17,5	20	12	1,0	2,1	0	/	17
HGPL-40-40	10	13	32	_	15	21	_	15	2,1	3,1	10	8	30
HGPL-40-80	35	1)	32	_	1)	21	_	1)	2,1	2,1	10	0	70

Pour centrage
 Pour trou traversant

### Pince à longue course HGPL Fiche de données techniques et accessoires



Références			
$\varnothing$ de piston	Course par mors de pince	Double effet s	sans ressort
[mm]	[mm]	N° pièce T	Туре
14			
	40	535 852 H	HGPL-14-40-A
	80	535 853 H	HGPL-14-80-A
25			
	40	535 854 H	HGPL-25-40-A
	80	535 855 H	HGPL-25-80-A
		•	
40			
	40	535 856 H	HGPL-40-40-A
	80	535 857 H	HGPL-40-80-A

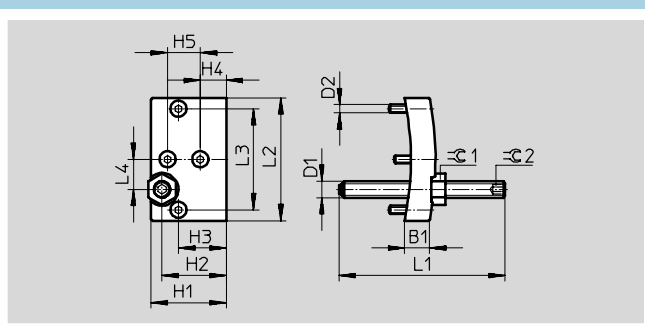
#### Accessoires

#### Réduction de course HGPL-HR

Matériau : Aluminium

Exempts de cuivre et de PTFE





Dimensions et Re	Dimensions et Références											
Pour ∅	B1	D1	1	02	H1	H2	Н3	H4	H5			
[mm]	±0,1				±0,1	±0,1	±0,1	±0,1	±0,1			
14	9	M6	1	И3	27,5	23,5	17,5	9,5	12			
25	12	M8	1	Л5	47,5	37,5	29,5	17,5	20			
40	18	M12	1	Л6	77	63	50	17	40			
Pour ∅	L1	L2	L3	L4	=©1	=©2	Poids	N° pièce Type				
[mm]	±1	±0,1	±0,1	±0,1			[g]					
14	61	45	37	11	10	3	45	539 092 HGPL	-HR-14			
25	61	77	65	19	13	4	150	539 093 HGPL	-HR-25			
40	61	103	87	25	19	6	455	539 094 HGPL	-HR-40			

### Pince à longue course HGPL Accessoires

**FESTO** 

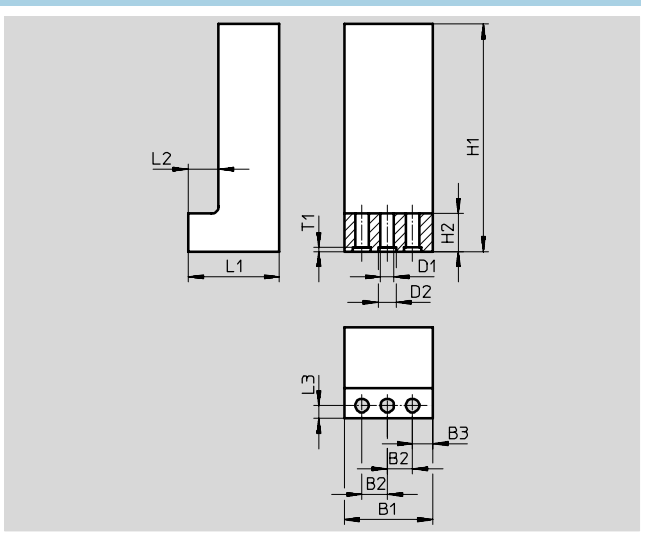
#### Accessoires

Ebauche pour mors BUB-HGPL

Matériau : Aluminium

Exempts de cuivre et de PTFE



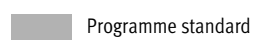


Dimensions et Ré	Dimensions et Références													
Pour ∅	B1	B2	В3	D1	D2	H1	H2							
				Ø	Ø	Ø								
[mm]	±0,1	+0,02		+0,1	Н8	±0,1								
14	25	8	4	3,2	5	80	11							
25	35	10	8	5,3	7	120	15							
40	50	15	10	6,4	9	150	18							

Pour ∅	L1	L2	L3	T1	Poids	N° pièce Type
					par ébauche	
[mm]	±0,1	+0,1	+0,1	+0,1	[g]	
14	20,5	8	3,3	1,3	75	537 316 BUB-HGPL-14
25	36	12	5	1,6	295	537 317 BUB-HGPL-25
40	49,5	16,5	8	2,1	720	537 318 BUB-HGPL-40

Références Références		Fiches de données techniques → 1 / 10.1-3 Fiches de données techniques → www.festo.fr						
	Pour $\varnothing$ de piston [mm]	Poids [g]	Nº pièce	Туре	PE <sup>1)</sup>			
Douille de centrage pour les mors								
	14	1	189 652	ZBH-5	10			
	25	1	186 717	ZBH-7	10			
	40	1	150 927	ZBH-9	10			
Douille de centrage pour les pinces								
<b>(1)</b>	14 25	1	189 652	ZBH-9	10			
	40	3	191 409	ZBH-15	10			
Bouchon								
	14 (sur la face avant)	0,6	30 979	B-M3-S9	10			
	14, 25, 40	1	174 308	B-M5-B	10			

1) Quantité par paquet



## Pince à longue course HGPL Accessoires



	<b>éférences – Capteurs de proximité pour rainure 10, magnéto-résistifs fiches de données techniques</b> → 1/10.2-47 <b>éférences – Capteurs de proximité pour rainure 10, magnéto-résistifs</b> Fiches techniques → www.festo.fr											
	Montage	Sortie de commande	'		Connexion électrique		Longueur de câble	départ connecteur	Nº pièce	Туре		
			Câble	Connecteur mâle M8	[m]							
Contact à ferm	neture											
	pose par le haut	PNP	à 3 fils	-	2,5	droit	525 915	SMT-10F-PS-24V-K2,5L-0E	Θ.			
			-	à 3 pôles	0,3	droit	525 916	SMT-10F-PS-24V-K0,3L-M8D	٠٥٠			
w						à 90°	526 675	SMT-10F-PS-24V-K0,3Q-M8D	٠٥٠			
0/	emboîtable	PNP	-	à 3 pôles	0,3	droit	173 220	SMT-10-PS-SL-LED-24				
			à 3 fils	-	2,5		173 218	SMT-10-PS-KL-LED-24				

	<b>éférences – Capteurs de proximité pour rainure 10, contact Reed éférences – Capteurs de proximité pour rainure 10, contact Reed</b> Fiches de données techniques → 1/10.2-  Fiches de données techniques → www.fester											
	Montage	Connexion électrique	Longueur de câble	départ connecteur	Nº pièce	Туре						
		Câble	Connecteur mâle M8	[m]								
Contact à ferm	eture											
	pose par le haut	-	à 3 pôles	0,3	droit	525 914	SME-10F-DS-24V-K0,3L-M8D					
		à 3 fils	-	2,5	droit	525 913	SME-10F-DS-24V-K2,5L-OE					
		à 2 fils				526 672	SME-10F-ZS-24V-K2,5L-OE					
0	emboîtable	-	à 3 pôles	0,3	droit	173 212	SME-10-SL-LED-24					
		à 3 fils	-	2,5		173 210	SME-10-KL-LED-24					

	Références – Connecteurs femelles       Fiches de données techniques → 1/10.         Références – Connecteurs femelles       Fiches techniques → www.fo											
	Montage	Sortie de commande R		Raccord	Longueur de câble	N° pièce	Туре					
	PNP NPN		NPN		[m]							
Connecteur fer	Connecteur femelle droit											
	Ecrou-raccord	_	_	à 3 pôles	2,5	159 420	SIM-M8-3GD-2,5-PU					
	M8	_	_		5	159 421	SIM-M8-3GD-5-PU					
Connecteur fer	Connecteur femelle coudé											
	Ecrou-raccord	_	_	à 3 pôles	2,5	159 422	SIM-M8-3WD-2,5-PU					
	M8	_	•		5	159 423	SIM-M8-3WD-5-PU					